

Relatório de Estudos

MAC5701 - Tópicos em Ciência da Computação

Aplicação do Método de Geração de Colunas ao Problema de Corte de Guilhotina Bidimensional

Aluno: Glauber Ferreira Cintra

Orientadora: Profa. Dra. Yoshiko Wakabayashi

Área: Otimização Combinatória

— São Paulo, junho de 2003 —

Índice

Introdução	1
1 Problemas de Corte de Estoque Bidimensional	1
1.1 Cortes de Guilhotina	2
1.2 Rotações Ortogonais	3
1.3 Atribuindo Valores	4
1.4 Introduzindo Demandas	4
2 Programação Dinâmica para o PCGV₂	5
2.1 Aplicabilidade da Programação Dinâmica ao PCGV ₂	5
2.2 O Algoritmo PCGV ₂ PD	7
3 O Método de Geração de Colunas para o PCGD₂	11
3.1 Geração de Colunas	11
3.2 O Algoritmo PCGD ₂ GC	19
3.3 O Algoritmo MFFDH	20
4 Resultados Computacionais	22
4.1 Resolvendo Instâncias do PCGV ₂	23
4.2 Resolvendo Instâncias do PCGD ₂	23
Considerações Finais	26
Referências Bibliográficas	28

Introdução

Apresentamos nesta monografia o relatório dos estudos realizados no decorrer do semestre como parte das atividades da disciplina. São dois os objetivos principais deste trabalho: o primeiro é apresentar algumas variantes do problema de corte de estoque bidimensional. O segundo objetivo é investigar a aplicação de programação dinâmica e do método de geração de colunas na resolução de tais variantes. Vamos supor aqui que o leitor tenha conhecimentos básicos de complexidade computacional, programação dinâmica e programação linear.

Este texto está organizado da seguinte maneira. Inicialmente, na Seção 1, definimos o problema pesquisado e apresentamos algumas de suas variantes. Em seguida, na Seção 2, mostramos como usar programação dinâmica para resolver algumas variantes. Na seção seguinte introduzimos o método de geração de colunas e mostramos como implementá-lo para solucionar outras variantes do problema. Na Seção 4, apresentamos os resultados computacionais obtidos ao resolver diversas instâncias citadas na literatura e em seguida tecemos algumas considerações sobre os resultados obtidos e possíveis desdobramentos de nossa pesquisa.

1 Problemas de Corte de Estoque Bidimensional

Os problemas de corte de estoque bidimensional, na sua forma mais geral, consistem em: dada a largura L e a altura A de objetos retangulares, genericamente denominado de *placas*, e uma lista de m itens retangulares, cada item i com largura $l_i \leq L$ e altura $a_i \leq A$, determinar “a melhor maneira” de cortar placas de forma a produzir itens da lista. Dependendo do contexto onde estes problemas surgem, o termo “a melhor maneira” pode ter significados diferentes.

Em algumas situações estamos interessados em maximizar a soma dos valores dos itens produzidos ao cortar uma única placa. Neste caso um valor arbitrário v_i está associado a cada item i . Chamaremos de *problema de corte de estoque bidimensional com valor* (PCEV₂) a variante onde cada item i possui valor v_i ($i = 1, \dots, m$) e desejamos determinar como cortar uma única placa de modo a maximizar a soma dos valores dos itens produzidos.

Em outras situações precisamos produzir d_i unidades de cada item i . Dizemos que d_i é a demanda do item i . Neste caso, a “melhor maneira” de cortar as placas é uma que utiliza o menor número de placas possível de modo a atender a demanda de todos os itens. Chamaremos de *problema de corte de estoque bidimensional com demandas*

(PCED₂) a variante onde cada item i possui demanda d_i ($i = 1, \dots, m$) e desejamos determinar como produzir d_i unidades de cada item i utilizando o menor número de placas possível.

Consideraremos a largura como a dimensão horizontal (eixo x) e a altura como a dimensão vertical (eixo y). Supomos aqui que os cortes são infinitamente finos, ou seja, têm largura zero. Apesar de isto não ocorrer na prática, esta suposição não é na verdade uma restrição, pois se num processo de corte do mundo real todos os cortes têm largura δ , basta somar δ a L , A , l_1, \dots, l_m , a_1, \dots, a_m , e resolver esta nova instância (agora supondo que todos os cortes têm largura zero).

O interesse por este problema e por outros correlatos tem motivações práticas e teóricas. Problemas de corte de estoque bidimensional surgem em diversas situações do mundo real. Podemos citar como exemplos os processos de corte de chapas de metal e madeira, lâminas de vidro, peças de carpete, etc. Empresas que conseguem melhorias nestes processos podem alcançar ganhos substanciais e, dependendo da escala de produção, podem obter assim uma vantagem decisiva na competição com outras empresas do setor. Além disso, o estudo dos problemas de corte e empacotamento por um número crescente de pesquisadores, tem gerado avanços significativos em diversas áreas, tais como *programação linear*, *programação dinâmica*, *complexidade computacional* e *algoritmos de aproximação*.

Apesar de sua aparente simplicidade, o problema de corte de estoque bidimensional é um problema de natureza complexa. Analisemos a variante do PCED₂ onde todas as alturas (da placa e dos itens) são iguais a zero e todos os itens possuem demanda igual a 1. Tal variante é chamada na literatura de *problema do empacotamento de bins* (PEB). Este problema tem como caso particular o *problema da 3-partição*¹, que é sabido ser *NP-completo no sentido forte* [11]. Deste fato, segue que o PEB é um problema *NP-difícil*. Consequentemente o PCED₂ também é *NP-difícil*.

Descrevemos a seguir algumas características dos processos de corte que dão origem às variantes do PCEV₂ e do PCED₂ nas quais temos interesse.

1.1 Cortes de Guilhotina

Uma restrição bastante comum nos processos que envolvem corte de placas é exigir que todos os cortes sejam ortogonais a um dos lados da placa e se estendam em linha

¹O problema da 3-partição consiste em: dado um número inteiro B e um conjunto A com $3m$ elementos, onde cada elemento $a \in A$ possui valor $\frac{B}{4} < v_a < \frac{B}{2}$, de tal forma que $\sum_{a \in A} v_a = mB$, particionar A em subconjuntos disjuntos A_1, \dots, A_m tais que $\sum_{a \in A_i} v_a = B$ ($i = 1, \dots, m$).

reta desde um lado até o lado oposto da placa. Tais cortes são chamados de *cortes de guilhotina*. Chamamos de *padrão de corte* (ou simplesmente *padrão*) cada possível forma de cortar uma placa. Dizemos que um padrão é *guilhotinável* se pode ser obtido com uma sequência de cortes de guilhotina. Na Figura 1 temos, à esquerda, um padrão não-guilhotinável e, à direita, um padrão guilhotinável (a numeração indica a ordem em que os cortes de guilhotina podem ser feitos).

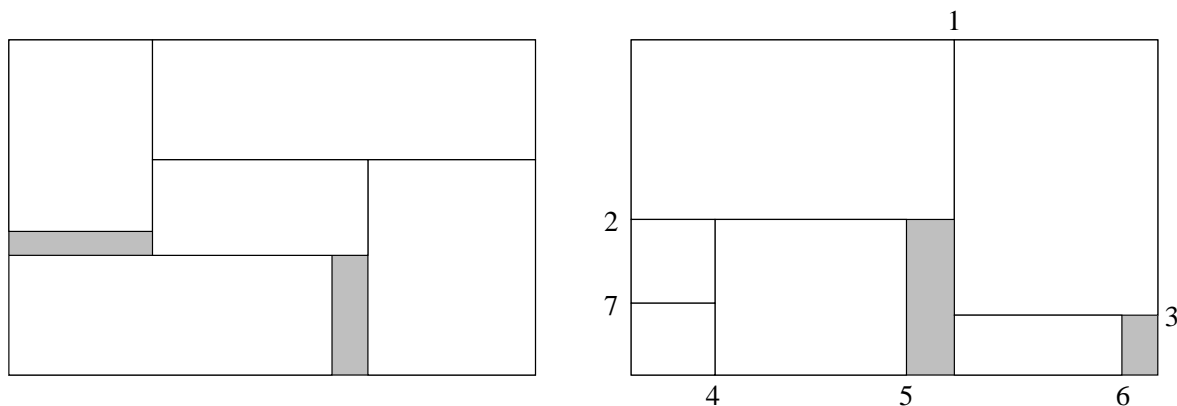


Figura 1:

(a) Padrão não-guilhotinável

(b) Padrão guilhotinável

Dado um padrão guilhotinável, chamamos de *estágio* de corte uma sequência maximal de cortes consecutivos todos na mesma direção. No padrão da Figura 1b, no primeiro estágio é feito o corte 1, no segundo estágio são feitos os cortes 2 e 3, no estágio seguinte os cortes 4, 5 e 6, e no último estágio é feito o corte 7. Em muitos processos de corte do mundo real a quantidade de estágios pode ser limitada. Diversos autores investigaram o caso em que o número de estágios está limitado a dois ou três [15, 17]. Em nosso trabalho, vamos supor que a quantidade de estágios é ilimitada.

1.2 Rotações Ortogonais

Em diversas situações práticas é permitido que os itens sofram rotações ortogonais, ou seja, de 90 graus. Por brevidade, chamaremos rotações ortogonais simplesmente de *rotações*. Em outras situações, como no corte de tecido estampado, de vidro trabalhado, etc, rotações podem não ser permitidas.

É possível transformar uma instância onde rotações são permitidas numa instância onde rotações não são permitidas da seguinte maneira: para cada item i , de largura l_i e altura a_i , inserimos um item de largura a_i e altura l_i , desde que $l_i \neq a_i$, $l_i \leq A$ e $a_i \leq L$. Dessa forma, vamos supor restante deste texto que os itens não podem sofrer rotação.

1.3 Atribuindo Valores

Como citamos anteriormente, podemos associar a cada item i um valor v_i ($i = 1, \dots, m$). Neste caso, o objetivo é determinar como cortar *uma placa* de modo a maximizar a soma dos valores dos itens produzidos. Dado um padrão, consideramos que todo retângulo que resulta do corte desse padrão cujas dimensões não coincidam com as dimensões de nenhum dos itens possui valor zero. Na Figura 1, representamos por retângulos escuros aqueles que possuem valor zero.

Se desejarmos simplesmente encontrar um padrão que minimize a sobra da placa, basta atribuir a cada item i valor $l_i \cdot a_i$, ou seja, valor equivalente à sua área. Dessa forma, maximizar a soma dos valores dos itens produzidos equivale a minimizar a sobra.

Chamaremos de *problema de corte de guilhotina bidimensional com valor* (PCGV₂) a variante do PCEV₂ onde o padrão produzido tem que ser guilhotinável. Como veremos na seção seguinte, o PCGV₂ possui propriedades que nos permitem aplicar a técnica de programação dinâmica para resolvê-lo.

1.4 Introduzindo Demandas

No PCED₂ associamos a cada item i uma demanda não-nula $d_i \in \mathbb{N}$ ($i = 1, \dots, m$). Neste caso, estamos interessados em determinar como cortar a quantidade mínima possível de placas de modo a produzir d_i unidades de cada item i ($i = 1, \dots, m$). Chamaremos de *problema de corte de guilhotina bidimensional com demandas* (PCGD₂) a variante do PCED₂ onde todos os padrões têm que ser guilhotináveis.

Existem ainda outras variantes estudadas na literatura, mas que não abordaremos neste trabalho. Por exemplo, Christofides e Whitlock [6] propuseram associar a cada item i um inteiro b_i ($i = 1, \dots, m$), que representa o número máximo de vezes que o item i pode aparecer num padrão qualquer. Tal restrição, em geral arbitrária, visa diminuir a quantidade de padrões viáveis, numa tentativa de facilitar a resolução do problema. Esta variante é conhecida como *problema de corte de estoque bidimensional restrito*.

Veremos que o PCGD₂ pode ser formulado como um problema de programação linear inteira (PLI). Mostraremos como resolver a relaxação linear desse PLI através do método de geração de colunas e a partir daí encontrar uma solução para o PCGD₂. Ao utilizar o método de geração de colunas na resolução do PCGD₂, o PCGV₂ surge como subproblema. Na seção seguinte mostramos como usar programação dinâmica para resolver o PCGV₂. Na Seção 3 introduzimos o método de geração de colunas e mostramos como usá-lo para resolver o PCGD₂.

As principais características dos problemas que trataremos nas seções seguintes estão resumidas na Tabela 1.

Característica	PCGV ₂	PCGD ₂
Cortes de guilhotina	Sim	Sim
Rotações ortogonais	Não	Não
Atribuição de valores aos itens	Sim	Não
Atribuição de demandas aos itens	Não	Sim

Tabela 1: Características do PCGV₂ e do PCGD₂.

2 Programação Dinâmica para o PCGV₂

Com o intuito de deixar claro o problema que vamos abordar nesta seção, vamos relembrar sua definição. O problema de corte de guilhotina bidimensional (PCGV₂) consiste em: dada uma placa, de largura L e altura A , e uma lista de m itens, cada item i com largura $l_i \leq L$, altura $a_i \leq A$ e valor v_i , queremos determinar como cortar a placa, fazendo apenas cortes de guilhotina, de modo a maximizar a soma dos valores dos itens produzidos.

Nesta seção, vamos considerar que $L, A, l_1, \dots, l_m, a_1, \dots, a_m$ são inteiros. Além disso, vamos supor que rotações não são permitidas (se necessário, replicamos cada item como explicado na Subseção 1.2). Veremos a seguir que o PCGV₂ pode ser resolvido através de programação dinâmica.

2.1 Aplicabilidade da Programação Dinâmica ao PCGV₂

Dada uma instância I de um problema, chamamos de decomposição de I o resultado da subdivisão de I em diversas instâncias menores (segundo alguma métrica) e que sejam do mesmo tipo que I . A programação dinâmica é uma generalização da bem conhecida técnica de *dividir-e-conquistar* e consiste basicamente em: dada uma instância I , decompor esta instância de várias maneiras, e para cada decomposição, calcular as soluções ótimas das instâncias que constituem a decomposição e a partir destas soluções parciais encontrar uma solução ótima de I . Esta técnica de resolução de problemas é especialmente bem sucedida se a quantidade de decomposições que tivermos que examinar for *pequena*.

Alguns problemas têm em sua estrutura propriedades que permitem que eles sejam resolvidos por programação dinâmica. Seja \mathcal{P} um problema de maximização ou de minimização cujas instâncias podem ser decompostas em instâncias de \mathcal{P} . Podemos resolver \mathcal{P} usando programação dinâmica se, para toda instância $I \in \mathcal{P}$, o valor de uma solução ótima de I for igual à soma dos valores de soluções ótimas das instâncias obtidas através de alguma decomposição de I . Diversos problemas possuem esta propriedade, tais como o *problema da mochila* [10], o *problema da subcadeia comum máxima* [10], o *problema do alinhamento de sequências* [2], etc.

O PCGV_2 também possui a propriedade citada no parágrafo anterior, embora o número de decomposições que precisamos examinar nem sempre seja *pequeno*. Dada uma placa de dimensões (l, a) , seja $v(l, a) = \max(\{v_i \mid 1 \leq i \leq m, l_i \leq l \text{ e } a_i \leq a\} \cup \{0\})$, ou seja, $v(l, a)$ é o valor de um item mais valioso que cabe na placa, ou 0 se nenhum item cabe na placa. Denotando por $\text{OPT}(I)$ o valor de uma solução ótima de uma instância I do PCGV_2 , vale o resultado que se segue.

Proposição 2.1. *Seja $I = (L, A, l, a, v)$ uma instância do PCGV_2 onde $l = \{l_1, \dots, l_m\}$, $a = \{a_1, \dots, a_m\}$ e $v = \{v_1, \dots, v_m\}$. Sejam $I_1 = (L', A, l, c, v)$, $I_2 = (L - L', A, l, c, v)$, $I_3 = (L, A', l, c, v)$ e $I_4 = (L, A - A', l, c, v)$. Para algum $1 \leq L' \leq \lfloor \frac{L}{2} \rfloor$ e algum $1 \leq A' \leq \lfloor \frac{A}{2} \rfloor$ ($L', A' \in \mathbb{N}$) temos que:*

$$\text{OPT}(I) = \max(v(L, A), \text{OPT}(I_1) + \text{OPT}(I_2), \text{OPT}(I_3) + \text{OPT}(I_4)).$$

Prova. Seja \mathcal{P} um padrão que corresponde a uma solução ótima de I . Se não existe nenhum corte de guilhotina em \mathcal{P} , claramente $\text{OPT}(I) = v(L, A)$.

Suponha que o primeiro corte de guilhotina é feito na vertical (como na Figura 1b), seccionando a placa em duas placas menores (subplacas) de dimensões (L', A) e $(L - L', A)$. Note que podemos considerar que $L' \leq \lfloor \frac{L}{2} \rfloor$, caso contrário trocamos L' por $L - L'$. Claramente os valores das soluções obtidas nestas duas subplacas são ótimos, caso contrário \mathcal{P} não seria ótimo. Dessa forma, $\text{OPT}(I) = \text{OPT}(I_1) + \text{OPT}(I_2)$.

Suponha agora que o primeiro corte de guilhotina é feito na horizontal, seccionando a placa em duas subplacas de dimensões (L, A') e $(L, A - A')$. Usando um raciocínio análogo ao anterior, concluímos que $\text{OPT}(I) = \text{OPT}(I_3) + \text{OPT}(I_4)$. \square

Fazendo uso da Proposição 2.1 mostraremos como o PCGV_2 pode ser resolvido através de programação dinâmica. Na próxima subseção discutimos detalhadamente como isto pode ser feito.

2.2 O Algoritmo PCGV₂PD

Para representar um padrão de corte bidimensional usamos um sistema de coordenadas bidimensional (x, y) . Vamos convencionar que a placa tem largura L ao longo do eixo x e altura A ao longo do eixo y . Cada item i tem largura l_i ao longo do eixo x e altura a_i ao longo do eixo y ($i = 1, \dots, m$). Convencionamos que o canto inferior esquerdo da placa está na posição $(0, 0)$ do nosso sistema de coordenadas.

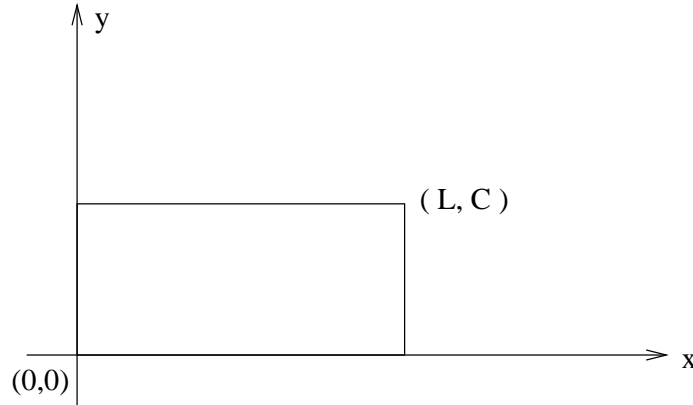


Figura 2: Sistema de coordenadas

Desse modo, para especificar a posição de um item k , na placa, basta especificar a posição do canto inferior esquerdo desse item em relação ao sistema de coordenadas. Neste caso, por causa da restrição de ortogonalidade (ver Subseção 1.1), se (x_k, y_k) denota um tal canto esquerdo e as dimensões deste item são (l_i, a_i) , a região ocupada por ele é dada por

$$\mathcal{R}_k = \{(x, y) : x_k \leq x \leq x_k + l_i \text{ e } y_k \leq y \leq y_k + a_i\}.$$

Com essas convenções, definimos um padrão de corte bidimensional como sendo uma coleção de itens φ que satisfaz as seguintes propriedades:

- (a) Para todo item s em φ , temos que $0 \leq x_s \leq L - l_i$ e $0 \leq y_s \leq A - a_i$ (l_i e a_i são as dimensões do item s);
- (b) Para todo par de itens distintos s, t em φ , temos que $\mathcal{R}_s \cap \mathcal{R}_t = \emptyset$.

Seja $V(l, c)$ o maior valor (isto é, a soma dos valores dos itens produzidos) que pode ser obtido ao cortar uma placa de largura l e altura c . O algoritmo baseado em

programação dinâmica para solucionar o PCGV₂ consiste basicamente em resolver a seguinte fórmula de recorrência, onde $\bar{l} = \{1, \dots, \lfloor \frac{l}{2} \rfloor\}$ e $\bar{c} = \{1, \dots, \lfloor \frac{c}{2} \rfloor\}$:

$$V(l, c) = \max_{i \in \bar{l}, j \in \bar{c}} \{v(l, c), V(i, c) + V(l - i, c), V(l, j) + V(l, c - j)\} \quad (2.1)$$

Ao calcular um padrão ótimo \mathcal{P} para uma placa de dimensões (l, c) , temos três possibilidades:

- Nenhum corte de guilhotina é feito em \mathcal{P} . Neste caso, $V(l, c) = v(l, c)$.
- O primeiro corte de guilhotina em \mathcal{P} é feito na posição i do eixo horizontal. Dessa forma, $V(l, c) = V(i, c) + V(l - i, c)$.
- O primeiro corte de guilhotina em \mathcal{P} é feito na posição j do eixo vertical. Neste caso, $V(l, c) = V(l, j) + V(l, c - j)$.

Concluimos então que a fórmula de recorrência (2.1) é válida. Assim, dada uma instância I do PCGV₂, $V(L, A)$ nos fornece o valor de uma solução ótima de I .

Podemos modificar a recorrência (2.1) com o intuito de resolvê-la mais rapidamente. Chamemos de *ponto de discretização da largura* um valor $i \leq L$ que pode ser obtido através de uma combinação linear cônica inteira² de l_1, \dots, l_m . Analogamente, chamemos de *ponto de discretização da altura* um valor $j \leq C$ que pode ser obtido através de uma combinação linear cônica inteira de a_1, \dots, a_m . Tais pontos podem ser calculados como delineado a seguir.

Sejam $l = (l_1, \dots, l_m)^T$, $a = (a_1, \dots, a_m)^T$, $P = \{l^T z \mid l^T z \leq L, z \in \mathbb{N}^m\}$ e $Q = \{a^T z \mid a^T z \leq A, z \in \mathbb{N}^m\}$. Os elementos de P e Q constituem os *pontos de discretização* da largura e da altura, respectivamente. Herz [14] definiu *padrão canônico* como sendo um padrão onde todos os cortes são feitos em pontos de discretização. Os padrões da Figura 1 e da Figura 3b são canônicos. Já o padrão da Figura 3a não é canônico, supondo que existem apenas os itens que aparecem no padrão e que um dos cortes de guilhotina é feito na linha pontilhada, correspondente à posição 18 no eixo horizontal.

Veremos agora que precisamos considerar somente padrões canônicos. Antes, vejamos uma definição. Dizemos que dois padrões, para uma dada instância, são *equivalentes* se eles possuem os mesmos itens, nas mesmas quantidades.

²Uma combinação linear cônica inteira é uma combinação linear onde todos os coeficientes são números inteiros não negativos.

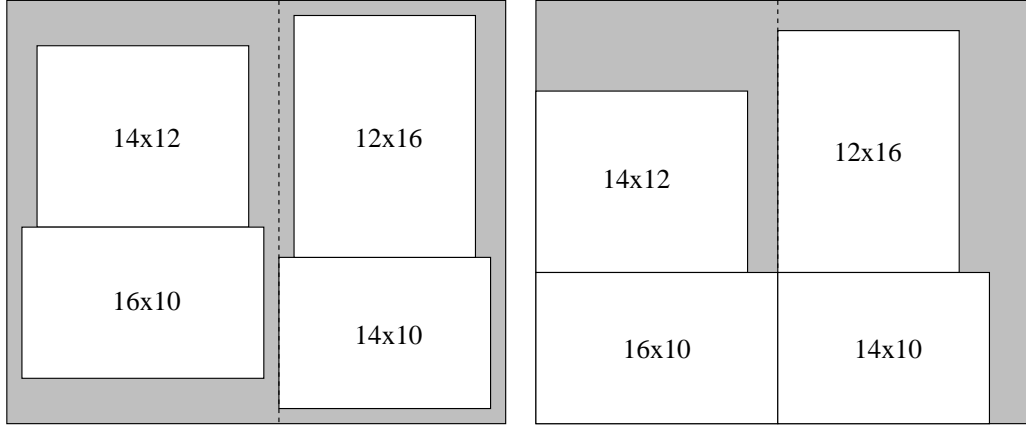


Figura 3: Padrões equivalentes

(a) Padrão não-canônico

(b) Padrão canônico

Proposição 2.2. *Seja $I = (L, A, l, a, v)$ uma instância do $PCGV_2$ e \mathcal{P} um padrão guilhotinável para a instância I . Então existe um padrão guilhotinável canônico para I equivalente a \mathcal{P} .*

Prova. Seja k o número de cortes de guilhotina requeridos pelo padrão \mathcal{P} . Faremos indução em k . Se $k = 0$, obviamente a proposição é válida, pois nenhum corte de guilhotina precisa ser feito, e portanto \mathcal{P} é canônico.

Suponha agora $k \geq 1$. Sem perda de generalidade, suponha que o primeiro corte de guilhotina de \mathcal{P} é feito na vertical, numa posição i . Sejam \mathcal{P}_1 e \mathcal{P}_2 os padrões correspondentes às subplacas obtidas ao efetuar o primeiro corte de guilhotina de \mathcal{P} , sendo \mathcal{P}_1 o padrão correspondente à subplaca da esquerda. Se i é um ponto de discretização, aplicamos a hipótese de indução em \mathcal{P}_1 e \mathcal{P}_2 , obtendo dois padrões guilhotináveis canônicos \mathcal{P}'_1 e \mathcal{P}'_2 equivalentes a \mathcal{P}_1 e \mathcal{P}_2 , respectivamente. Colocando \mathcal{P}'_1 à esquerda de \mathcal{P}'_2 obtemos um padrão guilhotinável canônico equivalente a \mathcal{P} .

Suponha então que i não é um ponto de discretização. Seja \mathcal{P}_1^* o padrão obtido movendo-se cada item contido em \mathcal{P}_1 para a posição mais à esquerda possível, sem que ocorra sobreposição (este procedimento é ilustrado pela Figura 3). Seja i^* a posição mais à direita ocupada por um item de \mathcal{P}_1^* . Como i^* é um ponto de discretização, obviamente $i^* < i$. Efetue em \mathcal{P}_1^* um corte de guilhotina vertical, na posição i^* , obtendo duas subplacas \mathcal{S}_1 e \mathcal{S}_2 , sendo \mathcal{S}_1 a subplaca que contém o padrão equivalente a \mathcal{P}_1^* . Pela hipótese de indução, existe um padrão guilhotinável canônico \mathcal{P}'_1 equivalente a \mathcal{P}_1^* e portanto equivalente a \mathcal{P}_1 . Utilizando a mesma construção em \mathcal{P}_2 , obtemos um padrão guilhotinável canônico \mathcal{P}'_2 equivalente a \mathcal{P}_2 . Colocando \mathcal{P}'_1 à esquerda de \mathcal{P}'_2 , de modo que i^* corresponda ao ponto mais à esquerda de \mathcal{P}'_2 , obtemos um padrão guilhotinável canônico equivalente a \mathcal{P} . \square

Em vista deste resultado, é suficiente procurarmos uma solução apenas entre os padrões canônicos. Portanto, na recorrência (2.1) somente precisamos exigir que $i \in P$ e $j \in Q$, onde P e Q contêm os pontos de discretização da largura e da altura, respectivamente.

Para reconstruir um padrão correspondente a uma solução ótima, basta anotar, para toda placa de largura $L' \in P$ e altura $A' \in Q$, qual a direção e posição do primeiro corte de guilhotina a ser feito na placa. No caso de nenhum corte de guilhotina ser feito na placa, precisamos saber qual item deve ser colocado na placa. Descrevemos a seguir um algoritmo para o $PCGV_2$, que chamaremos de $PCGV_2PD$, baseado em programação dinâmica.

Algoritmo $PCGV_2PD$

Entrada: Uma instância $I = (L, A, l, a, v)$ do $PCGV_2$, onde $l = \{l_1, \dots, l_m\}$,
 $a = \{a_1, \dots, a_m\}$ e $v = \{v_1, \dots, v_m\}$.

Saída: Uma solução ótima de I .

Calcule $p_1 < \dots < p_r$, os pontos de discretização da largura L .

Calcule $q_1 < \dots < q_s$, os pontos de discretização da altura A .

Para $i = 1$ até r

Para $j = 1$ até s

$V(i, j) = \max(\{v_k \mid 1 \leq k \leq m, l_k \leq p_i \text{ e } a_k \leq q_j\} \cup \{0\})$

$item(i, j) = \max(\{k \mid 1 \leq k \leq m, l_k \leq p_i, a_k \leq q_j \text{ e } v_k = V(i, j)\} \cup \{0\})$

$guilhotina(i, j) = nil$

Para $i = 1$ até r

Para $j = 1$ até s

$n = \max(\{k \mid 1 \leq k \leq r \text{ e } p_k \leq \lfloor \frac{p_i}{2} \rfloor\} \cup \{0\})$

Para $x = 1$ até n

$t = \max(\{k \mid 1 \leq k \leq r \text{ e } p_k \leq p_i - p_x\} \cup \{0\})$

Se $V(i, j) < V(x, j) + V(t, j)$

$V(i, j) = V(x, j) + V(t, j)$, $posicao(i, j) = p_x$ e $guilhotina(i, j) = 'V'$

$n = \max(\{k \mid 1 \leq k \leq s \text{ e } q_k \leq \lfloor \frac{q_j}{2} \rfloor\} \cup \{0\})$

Para $y = 1$ até n

$t = \max(\{k \mid 1 \leq k \leq s \text{ e } q_k \leq q_j - q_y\} \cup \{0\})$

Se $V(i, j) < V(i, y) + V(i, t)$

$V(i, j) = V(i, y) + V(i, t)$, $posicao(i, j) = q_y$ e $guilhotina(i, j) = 'H'$

No final do algoritmo $PCGV_2PD$, dada uma placa de dimensões (p_i, q_j) , $1 \leq i \leq r$ e $1 \leq j \leq s$, $V(i, j)$ contém o valor ótimo que pode ser obtido na placa, $guilhotina(i, j)$

indica a direção do primeiro corte de guilhotina e $posicao(i, j)$ é a posição, no eixo x ou no eixo y , onde deve ser feito o primeiro corte de guilhotina. Se $guilhotina(i, j) = nil$, então nenhum corte de guilhotina deve ser feito na placa. Neste caso, $item(i, j)$ (se diferente de zero) indica qual item deve ser colocado na placa. O valor de uma solução ótima estará em $V(r, s)$.

Os pontos de discretização podem ser calculados em tempo $\mathcal{O}(m(L+A))$, utilizando-se uma variante do algoritmo baseado em programação dinâmica para o problema da mochila apresentado em [10]. Cada atribuição de valor à variável t pode ser feita em tempo constante. Observe que $r \leq L$ e $s \leq A$. Sendo assim, no pior caso o algoritmo PCGV₂PD requer tempo $\mathcal{O}((LA+m)(L+A))$. Trata-se portanto de um algoritmo *pseudo-polinomial*. Além disso, é fácil perceber que este algoritmo requer espaço proporcional a $r.s$, que no pior caso é $\mathcal{O}(LA)$. Para valores *grandes* de L e A , este algoritmo se torna inviável.

Como veremos na Seção 4, implementamos e testamos o algoritmo PGC₂PD com diversas instâncias encontradas na literatura tendo obtido resultados bastante satisfatórios.

3 O Método de Geração de Colunas para o PCGD₂

O método de geração de colunas foi pela primeira vez proposto para o problema de corte de estoque unidimensional (PCE₁) por Gilmore e Gomory [12, 13]. O PCE₁ consiste em: dado um objeto, genericamente denominado de *barra*, de comprimento L , e uma lista de m itens, cada item i com comprimento $l_i \leq L$ e demanda não-nula $d_i \in \mathbb{N}$ ($i = 1, \dots, m$), determinar o menor número de barras necessário para atender a demanda. Obviamente também estamos interessados em determinar como as barras devem ser cortadas. Explicamos a seguir como resolver o PCE₁ utilizando o método de geração de colunas e discutimos como adaptar esta técnica para o PCGD₂.

3.1 Geração de Colunas

Para aplicar o método de geração de colunas, precisamos primeiramente formular o PCE₁ como um problema de programação linear inteira. Para fazer isso, representamos cada padrão j por um vetor p_j , cujo i -ésimo elemento indica o número de vezes que o item i ocorre nesse padrão. O problema agora consiste em considerar os padrões viáveis e decidir quantas vezes cada padrão deve ser utilizado de modo a atender a demanda, minimizando o número total de barras utilizadas. Supondo existir n padrões

viáveis, introduzimos um vetor x cujos elementos são inteiros x_j ($j = 1, \dots, n$), onde x_j indica quantas vezes o padrão j é selecionado. Assim, denotando por P a matriz $m \times n$ cujas colunas são os vetores p_1, \dots, p_n , e representando por d o vetor das demandas, o problema pode ser assim formulado:

$$\begin{aligned} \min \quad & \sum_{j=1}^n x_j \\ Px = & d \\ x_j \geq 0 \text{ e inteiro} \quad & j = 1, \dots, n. \end{aligned} \tag{3.1}$$

A formulação acima traz consigo duas dificuldades em termos computacionais. A primeira é determinar a matriz P (que pode ter um número exponencial de colunas); a segunda é resolver um problema de programação linear inteira (que é sabido ser \mathcal{NP} -difícil). Para se desvencilhar destas dificuldades, Gilmore e Gomory propuseram o método de geração de colunas que consiste em resolver a relaxação linear de (3.1), formulada abaixo, gerando gradativamente as colunas da matriz P .

$$\begin{aligned} \min \quad & \sum_{j=1}^n x_j \\ Px = & d \\ x_j \geq 0 \quad & j = 1, \dots, n. \end{aligned} \tag{3.2}$$

Podemos iniciar a resolução de (3.2) tomando a matriz identidade de ordem m , que chamaremos de B , como base da matriz P . Observe que cada coluna de B corresponde a um padrão viável pois todo item cabe na barra. Sem perda de generalidade, vamos supor que as colunas de B correspondem às primeiras m colunas de P . Denotaremos por x_B a parte do vetor x correspondente às colunas de B . Obviamente, para toda coluna j de P que não faz parte de B , $x_j = 0$. No início da primeira iteração, fazendo $x_B = d$ temos uma solução x para (3.2).

Em cada iteração determinamos um vetor y tal que $y^T B = \mathbf{1}^T$, onde $\mathbf{1}$ é um vetor cujos elementos são todos iguais a 1 (a quantidade de elementos de $\mathbf{1}$ é determinada pelo contexto em que ele aparece). Utilizando y , geramos uma nova coluna $z = (z_1, \dots, z_m)$ resolvendo o seguinte *problema da mochila*.

$$\begin{aligned} \max \quad & y^T z \\ \sum_{i=1}^m z_i l_i \leq & L \\ z_i \geq 0 \text{ e inteiro} \quad & i = 1, \dots, m. \end{aligned} \tag{3.3}$$

Após resolver (3.3), se $y^T z > 1$, resolvemos $Bw = z$ e calculamos:

$$t = \min\left(\frac{x_j}{w_j} \mid j \in \mathbb{N}, 1 \leq j \leq m, w_j > 0\right) \quad (3.4)$$

$$s = \min(j \mid j \in \mathbb{N}, 1 \leq j \leq m, \frac{x_j}{w_j} = t). \quad (3.5)$$

Em seguida substituímos os valores da coluna s de B pelos valores do vetor z (nova coluna), obtendo uma nova base B' . Utilizando t e a solução corrente x , calculamos uma nova solução viável x' , como delineado na seguinte proposição.

Proposição 3.1. *Seja x uma solução viável de (3.2), t a solução de (3.4), $x'_j = x_j - w_j t$ ($j = 1, \dots, s-1, s+1, \dots, m$), $x'_j = 0$ ($j = m+1, \dots, n$) e $x'_s = t$. Então x' é solução viável de (3.2).*

Prova. Primeiramente vamos mostrar que $x'_j \geq 0$ ($j = 1, \dots, n$). Observe que $t \geq 0$, pois $x_s \geq 0$ e $w_s > 0$, portanto $x'_s \geq 0$. Resta mostrar que $x'_j \geq 0$ ($j = 1, \dots, s-1, s+1, \dots, m$). Note que $t = \frac{x_s}{w_s}$ e $\frac{x_j}{w_j} \geq \frac{x_s}{w_s}$, logo $x_j w_s - x_s w_j \geq 0$ ($j = 1, \dots, m$). Dessa forma, temos que:

$$x'_j = x_j - w_j t = x_j - w_j \frac{x_s}{w_s} = \frac{x_j w_s - x_s w_j}{w_s} \geq 0.$$

Vamos mostrar agora que $Px' = d$. Seja $x_B = (x_1, \dots, x_m)^T$ e $x'_B = (x'_1, \dots, x'_m)^T$. Observe que $Px' = B'x'_B$, $Bx_B = d$ e que B difere de B' apenas na coluna s , sendo z a coluna s de B' . Ademais, $x_s - w_s t = x_s - w_s \frac{x_s}{w_s} = 0$. Assim:

$$Px' = B'x'_B = B(x_B - wt) + zt = Bx_B - Bwt + zt = d - zt + zt = d. \quad \square$$

O valor da função objetivo de (3.2) no ponto x' não é pior que o valor da função objetivo de (3.2) no ponto x , conforme demonstramos a seguir.

Proposição 3.2. *Para x e x' mencionados na proposição 3.1, temos que*

$$\sum_{j=1}^n x'_j \leq \sum_{j=1}^n x_j.$$

Prova. Fazemos novamente $x_B = (x_1, \dots, x_m)^T$ e $x'_B = (x'_1, \dots, x'_m)^T$. Lembrando que $x_s - w_s t = 0$, $y^T B = \mathbb{1}^T$, $Bw = z$, $t \geq 0$ e $y^T z > 1$, temos que:

$$\begin{aligned}
\sum_{j=1}^n x'_j &= \mathbf{1}^T x'_B = \mathbf{1}^T (x_B - wt) + x'_s = \mathbf{1}^T x_B - \mathbf{1}^T wt + t = \sum_{j=1}^n x_j - y^T Bwt + t \\
&= \sum_{j=1}^n x_j - y^T zt + t = \sum_{j=1}^n x_j + t(1 - y^T z) \leq \sum_{j=1}^n x_j. \quad \square
\end{aligned}$$

Começamos então uma nova iteração com $x = x'$ e $B = B'$.

Se $y^T z \leq 1$, então a solução x corrente é ótima. Para demonstrar este fato podemos usar o dual de (3.2), formulado a seguir.

$$\begin{aligned}
\min y^T d \\
y^T P \leq \mathbf{1}^T
\end{aligned} \tag{3.6}$$

O *Teorema das Folgas Complementares*, enunciado abaixo de uma forma conveniente aos nossos propósitos, estabelece relações entre soluções ótimas de (3.2) e (3.6).

Teorema 3.3. (Folgas Complementares) *Dada uma solução viável x de (3.2) e uma solução viável y de (3.6), x e y são soluções ótimas de (3.2) e (3.6), respectivamente, se e somente se*

$$x_j(1 - \sum_{i=1}^m y_i P_{i,j}) = 0 \quad (j = 1, \dots, n) \quad e \quad (d_i - \sum_{j=1}^n P_{i,j} x_j) y_i = 0 \quad (i = 1, \dots, m).$$

Uma demonstração deste teorema pode ser obtida em [7], pelo que deixamos de transcrevê-la aqui. Agora estamos em condições de provar que se a solução de (3.3) tiver valor menor ou igual a 1 então x é solução ótima de (3.2).

Proposição 3.4. *Dada uma solução viável x de (3.2) e um vetor y tal que $y^T B = \mathbf{1}^T$, se a solução z de (3.3) for tal que $y^T z \leq 1$ então x é solução ótima de (3.2).*

Prova. Observe que $y^T P_j \leq 1$ ($j = 1, \dots, n$), caso contrário tal P_j seria uma solução de (3.3) com valor maior que 1. Portanto y é solução viável de (3.6). Note que para todo j tal que $x_j > 0$, P_j é uma coluna de B ; logo $\sum_{i=1}^m y_i P_{i,j} = 1$, pois $y^T B = \mathbf{1}^T$. Assim, $x_j(1 - \sum_{i=1}^m y_i P_{i,j}) = 0$ ($j = 1, \dots, n$). Ademais, $\sum_{j=1}^n P_{i,j} x_j = d_i$ ($i = 1, \dots, m$), pois x é solução viável de (3.2). Portanto, pelo *Teorema das Folgas Complementares*, x é solução ótima de (3.2). \square

Temos então o algoritmo que chamaremos de *Simplex com Geração de Colunas para o PCE₁*, ou simplesmente *SimplexGC₁*, cujos detalhes são apresentados a seguir.

Algoritmo SimplexGC₁

Entrada: $(L, l = (l_1, \dots, l_m), d = (d_1, \dots, d_m))$.

Saída: Uma solução ótima de:
$$\begin{aligned} \min \sum_{j=1}^n x_j \\ Px = d \\ x_j \geq 0 \quad j = 1, \dots, n. \end{aligned} \quad (3.2)$$

(onde P é a matriz dos padrões viáveis)

1 Faça $x = d$ e seja B a matriz identidade de ordem m .

2 Resolva $y^T B = \mathbf{1}^T$.

3 Gere uma nova coluna resolvendo:

$$\begin{aligned} \max y^T z \\ z^T l \leq L \\ z_i \geq 0 \text{ e inteiro} \quad i = 1, \dots, m. \end{aligned} \quad (3.3)$$

4 Se $y^T z \leq 1$, devolva B e x e pare (tal x corresponde apenas às colunas de B).

5 Caso contrário, resolva $Bw = z$.

6 Calcule $t = \min(\frac{x_j}{w_j} \mid j \in \mathbb{N}, 1 \leq j \leq m, w_j > 0)$.

7 Calcule $s = \min(j \mid j \in \mathbb{N}, 1 \leq j \leq m, \frac{x_j}{w_j} = t)$.

8 Para $i = 1$ até m faça

8.1 $B_{i,s} = z_i$.

8.2 Se $i = s$ então $x_i = t$; caso contrário, $x_i = x_i - w_i t$.

9 Retorne ao passo 2.

Para executar o passo 3 do algoritmo SimplexGC₁ utilizamos o algoritmo MOCHILA, explicado a seguir.

Toda solução ótima de (3.3) tem que satisfazer:

$$L - \sum_{i=1}^m l_i z_i < l_m, \quad (3.7)$$

pois se isso não ocorresse seria possível incrementar z_m de uma unidade. Chamamos as soluções viáveis de (3.3) que satisfazem (3.7) de *soluções sensatas*. O algoritmo MOCHILA, consiste basicamente em enumerar as soluções sensatas, começando por aquelas que parecem ser mais promissoras, buscando entre elas uma solução ótima. Apresentamos abaixo o detalhes do algoritmo.

Algoritmo MOCHILA

Entrada: $(L, l_1, \dots, l_m, y_1, \dots, y_m)$.

Saída: $z_1, \dots, z_m \in \mathbb{N}$ tais que $\sum_{i=1}^m l_i z_i \leq L$ e $\sum_{i=1}^m y_i z_i$ é máximo.

- 1 Faça $M = 0$ e $k = 0$.
- 2 Ordene os itens em ordem não-crescente de $\frac{y_i}{l_i}$ (custo relativo).
- 3 Para $j = k + 1$ até m faça
 - 3.1 $z_j = \lfloor (L - \sum_{i=1}^{j-1} l_i z_i) / l_j \rfloor$.
- 4 Se $M \leq \sum_{i=1}^m y_i z_i$ faça $z^* = z$ e $M = \sum_{i=1}^m y_i z_i^*$.
- 5 Procure $k = \max(\{i \mid 1 \leq i < m \text{ e } z_i > 0, \sum_{j=1}^{i-1} y_j z_j + y_i(z_i - 1) + \frac{y_{i+1}}{l_{i+1}}(L - \sum_{j=1}^{i-1} l_j z_j - l_i(z_i - 1)) > M\} \cup \{0\})$.
- 6 Se $k = 0$ então devolva z^* e pare.
- 7 Faça $z_k = z_k - 1$ e retorne ao passo 3.

Ao enumerar as soluções sensatas, podemos evitar que soluções claramente inferiores à melhor solução já encontrada sejam analisadas. Tal procedimento limita sobremaneira o espaço de busca, tornando o algoritmo sensivelmente mais rápido.

Observe que no passo 2 colocamos os itens em ordem não-crescente de custo relativo. No passo 5, ao procurar um valor para k , consideramos possíveis soluções \bar{z} tais que $\bar{z}_i = z_i$ ($i = 1, \dots, k - 1$) e $\bar{z}_k = z_k - 1$. A ideia é determinar *a priori*, quaisquer que sejam os valores de $\bar{z}_{k+1}, \dots, \bar{z}_m$, se \bar{z} tem chance de ser melhor que z^* . Cada item $k + 1, \dots, m$ tem custo relativo menor ou igual a $\frac{y_{k+1}}{l_{k+1}}$, portanto:

$$\sum_{i=k+1}^m y_i \bar{z}_i \leq \frac{y_{k+1}}{l_{k+1}} (L - \sum_{i=1}^{k-1} l_i z_i - l_k(z_k - 1)).$$

Dessa forma, para todas as soluções \bar{z} com os valores das primeiras k posições fixadas como acabamos de descrever, vale que

$$\sum_{i=1}^m y_i \bar{z}_i \leq \sum_{i=1}^{k-1} y_i z_i + y_k(z_k - 1) + \frac{y_{k+1}}{l_{k+1}} (L - \sum_{i=1}^{k-1} l_i z_i - l_k(z_k - 1)). \quad (3.8)$$

Como desejamos que $\sum_{i=1}^m y_i \bar{z}_i > M$, podemos impor que a seguinte desigualdade seja satisfeita ao escolher o valor de k , caso contrário \bar{z} não tem chance de ser melhor que z^* .

$$\sum_{j=1}^{k-1} y_j z_j + y_i(z_k - 1) + \frac{y_{k+1}}{l_{k+1}} (L - \sum_{j=1}^{k-1} l_j z_j - l_k(z_k - 1)) > M. \quad (3.9)$$

Podemos dizer que o algoritmo MOCHILA executa uma busca em profundidade numa árvore, onde cada ramo da árvore (um caminho desde a raiz até uma folha) representa um solução sensata. A desigualdade (3.9) permite podar esta árvore fazendo com que os algoritmo encontre uma solução mais rapidamente. Trata-se portanto de um algoritmo de enumeração tipo *branch-and-bound*. Apesar de ser exponencial no pior caso, este algoritmo se mostra bastante satisfatório na prática.

Voltando ao algoritmo SimplexGC₁, a condição suficiente para que a nova coluna possa entrar na base é $y^T z > 1$. Dessa forma, não precisamos resolver (3.3) até a otimalidade. Implementamos uma versão do SimplexGC₁ que utiliza o algoritmo MOCHILA aqui descrito e outra versão em que o algoritmo MOCHILA pára ao encontrar uma solução com valor maior que 1 (não necessariamente ótima). Os testes práticos que realizamos (ver [8]) indicam que resolver (3.3) até a otimalidade faz com que seja necessário gerar um número menor de colunas, compensando assim o maior esforço na geração de colunas.

Ainda sobre a quantidade de colunas geradas pelo SimplexGC₁, em 1972, Klee e Minty [16] exibiram uma família de problemas de programação linear, criada artificialmente a partir de deformações do cubo n -dimensional, para a qual o algoritmo Simplex, com regra de pivotação de Dantzig-Wolfe, executa um número exponencial de iterações. No entanto, os testes computacionais que realizamos indicam que o número médio de colunas geradas pelo SimplexGC₁ é $\mathcal{O}(m^2)$. Isto parece estar de acordo com resultados teóricos obtidos por diversos pesquisadores [1, 5] a respeito do tempo requerido pelo Simplex no caso médio.

Infelizmente a solução ótima de (3.2) não será necessariamente inteira. Para contornar este problema, Gilmore e Gomory propuseram, após achar a solução ótima, arredondar para cima o valor das variáveis (isto é, arredondar cada x_i para $\lceil x_i \rceil$), obtendo assim uma solução inteira. No entanto, este procedimento pode acarretar a produção de itens em quantidade superior à demanda, e conduz a uma solução inteira eventualmente longe da ótima. Diversas heurísticas têm sido propostas para obter uma solução inteira mais próxima da ótima [8, 19].

Discutiremos agora como adaptar SimplexGC₁ para o PCGD₂. No caso unidimensional, gerar uma nova coluna equivale a encontrar uma solução de (3.3) com valor maior que 1. Uma solução de (3.3) indica uma coleção de itens com a seguinte propriedade: a soma dos comprimentos dos itens da coleção não excede o comprimento da barra. Esta coleção é composta por z_i itens de comprimento l_i ($i = 1, \dots, m$). Esta propriedade garante a existência de um padrão contendo a coleção de itens.

No caso bidimensional, a propriedade acima não garante a existência de um padrão contendo a coleção de itens expressa pela solução de (3.3). Mesmo que alterássemos a

desigualdade $\sum_{i=1}^m z_i l_i \leq L$ para $\sum_{i=1}^m z_i l_i a_i \leq LA$, ou seja, exigíssemos que a soma das áreas dos itens da coleção não excedesse a área da placa, ainda assim, tal propriedade não garantiria a existência de um padrão factível. Existe a necessidade de impedir a sobreposição dos itens dentro do padrão. Para tratar disso, usamos a convenção adotada na Subseção 2.2 sobre a representação de padrões.

O algoritmo PCGV₂PD, visto anteriormente, gera padrões guilhotináveis que possuem as propriedades citadas na Subseção 2.2, ou seja, padrões guilhotináveis factíveis. Além disso, se cada item i tem valor y_i e aparece z_i vezes num padrão produzido pelo PCGV₂PD ($i = 1, \dots, m$), então $\sum_{i=1}^m y_i z_i$ é máximo. Isto é tudo o que precisamos para gerar novas colunas. Abaixo detalhamos o algoritmo SimplexGC₂ que resolve a formulação (3.2) correspondente a uma instância do PCGD₂.

Algoritmo SimplexGC₂

Entrada: $(L, A, l = (l_1, \dots, l_m), a = (a_1, \dots, a_m), d = (d_1, \dots, d_m))$.

Saída: Uma solução ótima de:
$$\begin{aligned} \min \sum_{j=1}^n x_j \\ Px = d \\ x_j \geq 0 \quad j = 1, \dots, n. \end{aligned} \tag{3.2}$$

(onde P é a matriz dos padrões viáveis)

- 1 Faça $x = d$ e seja B a matriz identidade de ordem m .
- 2 Resolva $y^T B = \mathbf{1}^T$.
- 3 Gere uma nova coluna executando o algoritmo PCGV₂PD com parâmetros L, A, l, c, y .
- 4 Se $y^T z \leq 1$, devolva B e x e pare (tal x corresponde apenas às colunas de B).
- 5 Caso contrário, resolva $Bw = z$.
- 6 Calcule $t = \min(\frac{x_j}{w_j} \mid j \in \mathbb{N}, 1 \leq j \leq m, w_j > 0)$.
- 7 Calcule $s = \min(j \mid j \in \mathbb{N}, 1 \leq j \leq m, \frac{x_j}{w_j} = t)$.
- 8 Para $i = 1$ até m faça
 - 8.1 $B_{i,s} = z_i$.
 - 8.2 Se $i = s$ então $x_i = t$; caso contrário, $x_i = x_i - w_i t$.
- 9 Retorne ao passo 2.

Como já mencionamos anteriormente, a solução de (3.2) pode não ser inteira. Na próxima subseção discutimos como lidar com esta dificuldade.

3.2 O Algoritmo PCGD₂GC

Explicaremos agora como podemos obter uma solução inteira a partir das soluções encontradas pelo SimplexGC₂. O processo é iterativo. Cada iteração inicia com uma instância I do PCGD₂ e consiste basicamente em resolver (3.2) com o SimplexGC₂ obtendo B e x . Se x for inteira, devolvemos B e x e paramos. Caso contrário, calculamos $x^* = (x_1^*, \dots, x_m^*)$ fazendo $x_i^* = \lfloor x_i \rfloor$ ($i = 1, \dots, m$). Adotando esta nova solução, uma parte da demanda dos itens não será atendida. Mais precisamente, a demanda não atendida de cada item i será $d_i^* = d_i - \sum_{j=1}^m B_{i,j}x_j^*$.

Fazendo $d^* = (d_1^*, \dots, d_m^*)$, temos então uma instância residual $I^* = (L, A, l, c, d^*)$ (podemos ter o cuidado de eliminar de I^* os itens que porventura tenham demanda nula). Se algum $x_i^* > 0$ ($i = 1, \dots, m$), uma parte da demanda é atendida pela solução x^* . Neste caso devolvemos B e x , fazemos $I = I^*$ e começamos uma nova iteração. Se $x_i^* = 0$ ($i = 1, \dots, m$), nenhuma parte da demanda é atendida por x^* . Resolvemos então a instância I^* com o algoritmo MFFDH, explicado na próxima subsecção.

Apresentamos a seguir o algoritmo PCGD₂GC que implementa o processo iterativo que acabamos de descrever.

Algoritmo PCGD₂GC

Entrada: Uma instância $I = (L, A, l = (l_1, \dots, l_m), a = (a_1, \dots, a_m), d = (d_1, \dots, d_m))$ do PCGD₂.

Saída: Uma solução para I

- 1 Execute o algoritmo SimplexGC₂ com parâmetros L, A, l, a, d obtendo B e x .
- 2 Para $i = 1$ até m faça $x_i^* = \lfloor x_i \rfloor$.
- 3 Se $x_i^* > 0$ para algum $1 \leq i \leq m$ então
 - 3.1 Devolva B e x_1^*, \dots, x_m^* (mas não pare).
 - 3.2 Para $i = 1$ até m faça
 - 3.2.1 Para $j = 1$ até m faça $d_i = d_i - A_{i,j}x_j^*$.
 - 3.3 Faça $m' = 0$.
 - 3.4 Para $i = 1$ até m faça
 - 3.4.1 Se $d_i > 0$ faça $m' = m' + 1, l_{m'} = l_i, a_{m'} = a_i$ e $d_{m'} = d_i$.
 - 3.5 Se $m' = 0$ então pare.
 - 3.6 Faça $m = m'$ e volte ao passo 1.
- 4 Devolva a solução do algoritmo MFFDH executado com parâmetros L, A, l, a, d .

Observe que em cada iteração ou uma parte da demanda é atendida ou passamos para o passo 4. Isto garante que após um número finito de iterações, toda a demanda

terá sido atendida (uma parte dela eventualmente no passo 4). Na realidade, sobre o número de iterações do algoritmo, vale o seguinte resultado.

Proposição 3.5. *O passo 3.6 do algoritmo $\overline{\text{PCGD}}_2\text{GC}$ é executado no máximo m vezes.*

Prova. Ao executar o passo 3.6, seja d^* o vetor-demanda da instância residual. Note que $d^* = Ax - Ax^*$. Faça $x' = x - x^*$. Observe que tal x' é uma solução ótima da formulação (3.2) correspondente à instância residual pois $Ax' = Ax - Ax^* = d^*$ e $x'_i = x_i - x_i^* = x_i - \lfloor x_i \rfloor \geq 0$ ($i = 1, \dots, m$). Dessa forma, na iteração seguinte, o valor da solução fornecida pelo SimplexGC_2 será $\sum_{i=1}^m x'$.

Se uma nova iteração é iniciada, então $\sum_{i=1}^m x^* \geq 1$. Além disso, $\sum_{i=1}^m x' = \sum_{i=1}^m x - \sum_{i=1}^m x^*$. Dessa forma, temos que $\sum_{i=1}^m x' \leq \sum_{i=1}^m x - 1$. Isto significa que ao final de cada iteração o valor de uma solução ótima da instância residual decresce de pelo menos 1. Como no final da primeira iteração $\sum_{i=1}^m x' < m$, após no máximo m iterações teremos $\sum_{i=1}^m x' < 1$. Portanto, na iteração seguinte $\sum_{i=1}^m x < 1$ e conseqüentemente $\sum_{i=1}^m x^* = 0$. Dessa forma, o algoritmo não executará o passo 3.6, prosseguindo então para o passo 4. \square

Vimos assim que o número de iterações do algoritmo é polinomial. Ademais, o número de colunas geradas no SimplexGC_2 também é polinomial, no caso médio, conforme discutimos na Subseção 3.1. No entanto, gerar uma nova coluna com o algoritmo PCGV_2PD requer tempo $\mathcal{O}((LA + m)(L + A))$, que pode ser exponencial em m . Portanto não podemos afirmar que o algoritmo $\overline{\text{PCGD}}_2\text{GC}$ é polinomial, mesmo considerando apenas o caso médio. Resta-nos agora discutir o algoritmo MFFDH utilizado no passo 4 do $\overline{\text{PCGD}}_2\text{GC}$.

3.3 O Algoritmo MFFDH

O algoritmo *First Fit Decreasing Height* (FFDH) foi proposto por Coffman *et al.* [9] para uma variante do $\overline{\text{PCGD}}_2$ conhecida como *problema do empacotamento em faixa* (PEF). No PEF é dada uma faixa de largura L e altura ilimitada e uma lista \mathcal{L} com m itens retangulares, cada item i com largura l_i , altura a_i e demanda igual a 1. Desejamos empacotar todos os itens na faixa de modo que a altura utilizada da faixa seja a menor possível. O FFDH é um algoritmo de aproximação para o PEF com limite de desempenho assintótico 1.7 e que requer tempo $\mathcal{O}(m \log m)$.

Para entender o algoritmo FFDH , convém antes explicar outro algoritmo bastante similar, o *Next Fit Decreasing Height* (NFDH). No NFDH , primeiramente colocamos os

itens em ordem não-crescente de altura. Em seguida, empacotamos³ o primeiro item, na ordem estabelecida, no canto inferior esquerdo da faixa. Cada item i seguinte é empacotado imediatamente à direita do item anterior, se possível. Caso contrário, dizemos que o *nível* corrente está cheio; precisamos então criar um novo nível imediatamente acima do último nível e empacotar o item i no canto esquerdo deste novo nível.

No FFDH é introduzida uma pequena variação. Cada item é empacotado no primeiro nível no qual ele caiba, considerando a ordem em que os níveis foram criados. A Figura 4 mostra as soluções encontradas pelo NFDH e pelo FFDH para uma mesma instância. Os níveis são as regiões delimitadas por duas linhas pontilhadas consecutivas. A numeração indica a ordem em que os itens foram empacotados.

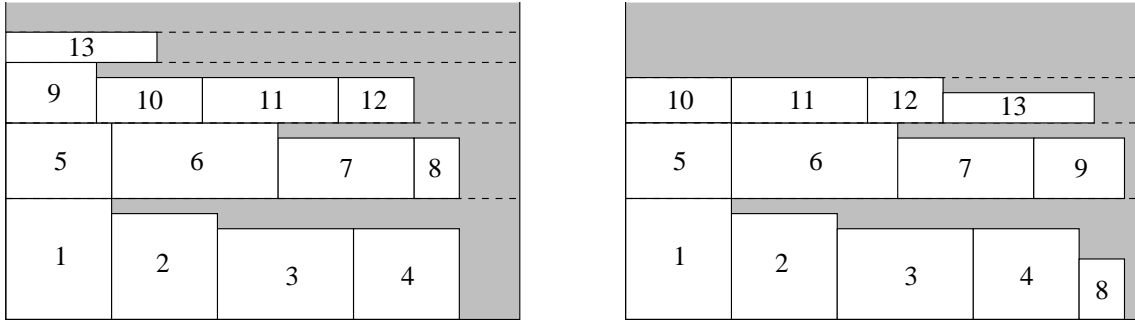


Figura 4:

(a) Exemplo de solução do NFDH

(b) Exemplo de solução do FFDH

Adaptamos o FFDH para o PCGD_2 obtendo um algoritmo que chamamos de *Modified First Fit Decreasing Height* (MFFDH). Inicialmente transformamos uma instância do PCGD_2 numa entrada adequada para o MFFDH (onde todos os itens têm demanda igual a 1) fazendo d_i cópias de cada item i ($i = 1, \dots, m$). Em seguida utilizamos a estratégia do FFDH, com uma modificação. Os níveis são criados nas placas e não numa faixa de altura ilimitada. Se a distância do topo do nível corrente para o lado superior da placa for menor ou igual a a_i (altura do item i), o novo nível é criado logo acima do nível corrente, caso contrário, passamos a utilizar uma nova placa e o novo nível é criado a partir da canto inferior esquerdo da placa.

Fazendo $D = \sum_{i=1}^m d_i$, é correto dizer que o MFFDH requer tempo $\mathcal{O}(D \log D)$. Se as demandas são maiores ou iguais a 1, o MFFDH pode não ser mais polinomial. Considere a família de instâncias onde cada um dos dados (larguras, alturas e demandas) pode ser codificado com k bits, todas as demandas são iguais a $2^k - 1$ e m é $\mathcal{O}(k)$. Para

³Empacotar um item numa placa equivale a dizer que a placa é cortada produzindo um retângulo de dimensões iguais às do item.

estas instâncias, o tamanho da entrada é $\mathcal{O}(k)$, e $D = 2^k m - m$. Para tais instâncias o MFFDH requer tempo exponencial. No entanto, qualquer algoritmo no qual tenhamos que guardar informação sobre cada placa utilizada requer tempo (e espaço) exponencial pois a quantidade de placas utilizadas pode ser igual a D . A seguir descrevemos o MFFDH.

Algoritmo MFFDH

Entrada: Uma instância $I = (L, A, l = (l_1, \dots, l_m), a = (a_1, \dots, a_m), d = (d_1, \dots, d_m))$ do PCGD₂.

Saída: Uma solução para I .

Crie uma lista \mathcal{L} contendo d_i cópias de cada item i .

Ordene os itens de \mathcal{L} em ordem não-crescente de altura.

Faça $\mathcal{N} = 0$, $\mathcal{P} = 1$, $topo(0) = 0$ e seja n a quantidade de itens de \mathcal{L} .

Para $i = 1$ até n

Faça $k = \min(\{j \mid j \in \mathbb{N}, 1 \leq j \leq \mathcal{N} \text{ e } largura(j) \leq L - l_i\} \cup \{\mathcal{N} + 1\})$.

Se $k = \mathcal{N} + 1$ /* É preciso criar um novo nível */

Se $topo(\mathcal{N}) + a_i > A$ /* É preciso utilizar uma nova placa */

Faça $\mathcal{P} = \mathcal{P} + 1$ e $topo(k) = 0$.

Faça $topo(k) = topo(k) + a_i$, $\mathcal{N} = k$ e crie o nível k na placa \mathcal{P} .

Empacote o item i no nível k e faça $largura(k) = largura(k) + l_i$.

Na descrição do MFFDH, \mathcal{N} é o índice do último nível criado e \mathcal{P} é o índice da última placa utilizada. Além disso, $largura(j)$ representa a largura do nível j e $topo(j)$ indica a posição do topo do nível j em relação ao eixo y .

4 Resultados Computacionais

Avaliamos os algoritmos PCGV₂PD e PCGD₂GC, propostos nas seções 2 e 3, resolvendo instâncias do problema de corte de guilhotina bidimensional disponíveis na OR-LIBRARY⁴. Tal biblioteca é uma coleção de instâncias de testes para uma grande variedade de problemas na área de pesquisa operacional. Uma descrição desta biblioteca e de seus objetivos é dada em [4].

Os algoritmos foram implementados utilizando-se a linguagem C e os testes executados num computador com dois processadores AMD Athlon MP 1800+, clock de 1.5

⁴<http://mscmga.ms.ic.ac.uk/info.html>

ghz, 3.5 GB de memória principal e sistema operacional Linux (distribuição Debian GNU/Linux 3.0). Utilizamos o software *Xpress-MP* [20] para resolver os sistemas de equações lineares que aparecem nos passos 2 e 5 do algoritmo SimplexGC₂. Registramos aqui nossos agradecimentos à *Dash Optimization, Inc* que nos cedeu gratuitamente o *Xpress-MP* como parte de seu Programa de Parceiros Acadêmicos. A seguir apresentamos os resultados dos testes.

4.1 Resolvendo Instâncias do PCGV₂

Na data da elaboração desta monografia, estavam disponíveis na OR-LIBRARY 13 instâncias do PCGV₂, denominadas *gcut1*, ..., *gcut13*. Todas estas instâncias, exceto a instância *gcut13*, já haviam sido resolvidas até a otimalidade [3]. Em todas estas instâncias rotações ortogonais não são permitidas.

Na Tabela 2 apresentamos detalhes das instâncias (quantidade de itens e dimensões da placa), o valor da solução encontrada pelo algoritmo PCGV₂PD (que é uma solução ótima), o percentual de desperdício e o tempo médio gasto para resolvê-las. Cada instância foi resolvida 100 vezes e os tempos apresentados foram obtidos calculando-se a média do tempo gasto nestas 100 resoluções. Destacamos a resolução da instância *gcut13* cuja solução ótima era desconhecida. Exibimos na Figura 5 a solução encontrada pelo algoritmo PCGV₂PD para esta instância⁵.

Experimentamos resolver as instâncias *gcut1*, ..., *gcut13* permitindo rotações (chamamos tais instâncias de *gcut1r*, ..., *gcut13r*). Os resultados obtidos são apresentados na Tabela 3.

4.2 Resolvendo Instâncias do PCGD₂

Não encontramos instâncias do PCGD₂ na OR-LIBRARY. Decidimos então usar as instâncias *gcut1*, ..., *gcut12*, atribuindo a cada item uma demanda gerada aleatoriamente entre 1 e 100. Chamamos tais instâncias de *gcut1d*, ..., *gcut12d*. As demandas foram geradas utilizando-se a função *rand* da linguagem PERL (versão 5.6.1) [18] com a semente sendo inicializada com o número $(L + A) * m + m$, onde L e A são a largura e a altura da placa, respectivamente, e m é a quantidade de itens. Por exemplo, para a instância *gcut1d* a semente da função *rand* foi o número 5010.

⁵As soluções obtidas para as instâncias *gcut1*, ..., *gcut13*, *gcut1r*, ..., *gcut13r* podem ser obtidas em <http://www.ime.usp.br/~glauber/gcut>.

Instância	Quantidade de Itens	Dimensões da Placa	Solução Ótima	Desperdício	Tempo (seg)
gcut1	10	(250, 250)	56460	9,664%	0,003
gcut2	20	(250, 250)	60536	3,142%	0,010
gcut3	30	(250, 250)	61036	2,342%	0,012
gcut4	50	(250, 250)	61698	1,283%	0,022
gcut5	10	(500, 500)	246000	1,600%	0,004
gcut6	20	(500, 500)	238998	4,401%	0,008
gcut7	30	(500, 500)	242567	2,973%	0,017
gcut8	50	(500, 500)	246633	1,347%	0,062
gcut9	10	(1000, 1000)	971100	2,890%	0,006
gcut10	20	(1000, 1000)	982025	1,798%	0,009
gcut11	30	(1000, 1000)	980096	1,990%	0,066
gcut12	50	(1000, 1000)	979986	2,001%	0,140
gcut13	50	(3000, 3000)	8997780	0,025%	165,832

Tabela 2: Soluções do PCGV₂PD para as instâncias $gcut1, \dots, gcut13$.

Instância	Quantidade de Itens	Dimensões da Placa	Solução Ótima	Desperdício	Tempo (seg)
gcut1r	10	(250, 250)	58136	6,982%	0,008
gcut2r	20	(250, 250)	60611	3,022%	0,021
gcut3r	30	(250, 250)	61626	1,398%	0,026
gcut4r	50	(250, 250)	62265	0,376%	0,042
gcut5r	10	(500, 500)	246000	1,600%	0,019
gcut6r	20	(500, 500)	240951	3,620%	0,032
gcut7r	30	(500, 500)	245866	1,654%	0,053
gcut8r	50	(500, 500)	247787	0,885%	0,135
gcut9r	10	(1000, 1000)	971100	2,890%	0,023
gcut10r	20	(1000, 1000)	982025	1,798%	0,071
gcut11r	30	(1000, 1000)	980096	1,990%	0,270
gcut12r	50	(1000, 1000)	979986	2,001%	0,140
gcut13r	50	(3000, 3000)	9000000	0,000%	280,247

Tabela 3: Soluções do PCGV₂PD para as instâncias $gcut1r, \dots, gcut13r$.

200x378	200x378	200x378	200x378	200x378	200x378	200x378	200x378	200x378	200x378	200x378	200x378	200x378	200x378	200x378
200x378	200x378	200x378	200x378	200x378	200x378	200x378	200x378	200x378	200x378	200x378	200x378	200x378	200x378	200x378
200x378	200x378	200x378	200x378	200x378	200x378	200x378	200x378	200x378	200x378	200x378	200x378	200x378	200x378	200x378
200x378	200x378	200x378	200x378	200x378	200x378	200x378	200x378	200x378	200x378	200x378	200x378	200x378	200x378	200x378
200x378	200x378	200x378	200x378	200x378	200x378	200x378	200x378	200x378	200x378	200x378	200x378	200x378	200x378	200x378
496x555	496x555	496x555	496x555	496x555	496x555	496x555	755x555	755x555	755x555	755x555	755x555	755x555	755x555	755x555
496x555	496x555	496x555	496x555	496x555	496x555	496x555	755x555	755x555	755x555	755x555	755x555	755x555	755x555	755x555

Instancia: gcut13 L: 3000 A: 3000 Valor: 8997780

Figura 5:

Solução ótima encontrada pelo algoritmo PCGV₂ para a instância *gcut13*

Apresentamos na Tabela 4 o valor da solução encontrada pelo algoritmo PCGD_2GC , o limite inferior (LI) fornecido pela solução de (3.2) para o valor de uma solução inteira ótima, a diferença percentual entre a solução do PCGD_2GC e o valor do LI, a quantidade de colunas geradas, o tempo gasto, o valor da solução encontrada pelo MFFDH e o ganho percentual da solução do PCGD_2GC em relação à solução do MFFDH. Cada instância foi resolvida 10 vezes e os tempos apresentados foram obtidos calculando-se a média do tempo gasto nestas 10 resoluções.

Resolvemos também as instâncias $gcut1d, \dots, gcut12d$ permitindo rotações. Chamamos tais instâncias de $gcut1dr, \dots, gcut12dr$. Apresentamos na Tabela 5 os resultados obtidos. Percebemos que, tanto no caso sem rotações como no caso com rotações, a solução do PCGD_2GC é bastante próxima do valor do limite inferior fornecido pela solução de (3.2). Além disso, o ganho percentual da solução do PCGD_2GC em relação à solução do MFFDH é bastante significativo.

Considerações Finais

Na pesquisa que serviu de base para esta monografia investigamos a aplicação de programação dinâmica e do método de geração de colunas para o PCGV_2 e o PCGD_2 , respectivamente. A estratégia que usamos na programação dinâmica difere de outras mencionadas na literatura. Propusemos então os algoritmos PCGV_2PD e PCGD_2GC . Os resultados obtidos nos testes computacionais indicam que estes algoritmos são capazes de lidar satisfatoriamente com instâncias encontradas na literatura consideradas representativas de instâncias do mundo real.

Diversas idéias parecem promissoras. Uma delas é adaptar o MFFDH para o caso em que rotações são permitidas. Além disso, ao empacotar um item, podemos procurar um nível de menor altura e maior largura disponível no qual ele caiba. Ao criar um novo nível, podemos procurar uma placa de menor altura disponível na qual ele caiba. Seria interessante incorporar estas idéias ao MFFDH e determinar a razão de aproximação deste novo algoritmo. Poderíamos comparar o desempenho deste algoritmo com o do melhor algoritmo de aproximação conhecido para o PCGD_2 (onde as demandas são todas iguais a 1) que é o *Hybrid First Fit*.

Outro desdobramento natural de nossa pesquisa seria adaptar o PCGD_2GC para a variante do PCGD_2 na qual as placas possuem dimensões e custos diferentes. Para isto, basicamente precisamos alterar a função objetivo de (3.1) de modo a incorporar os custos das placas.

Instância	Solução do PCGD ₂ GC	Limite Inferior (LI)	Diferença em relação ao LI	Tempo (seg)	Colunas Geradas	Solução do MFFDH	Ganho em relação ao MFFDH
gcut1d	294	294	0,000%	0,023	9	385	23,636%
gcut2d	345	345	0,000%	0,843	93	450	23,333%
gcut3d	336	332	1,204%	2,311	213	488	31,148%
gcut4d	843	836	0,837%	12,426	671	1151	26,759%
gcut5d	198	197	0,507%	0,067	19	246	19,512%
gcut6d	345	343	0,583%	0,540	101	456	24,342%
gcut7d	594	592	0,337%	3,438	277	783	24,138%
gcut8d	697	691	0,868%	34,456	800	963	27,622%
gcut9d	132	131	0,763%	0,066	17	162	18,519%
gcut10d	293	293	0,000%	0,237	29	415	29,398%
gcut11d	334	330	1,212%	10,678	202	472	29,237%
gcut12d	675	672	0,446%	72,948	839	913	26,068%

Tabela 4: Soluções do PCGD₂GC para as instâncias *gcut1d*, ..., *gcut12d*.

Instância	Solução do PCGD ₂ GC	Limite Inferior (LI)	Diferença em relação ao LI	Tempo (seg)	Colunas Geradas	Solução do MFFDH	Ganho em relação ao MFFDH
gcut1dr	292	291	0,343%	0,052	9	385	24,156%
gcut2dr	286	282	1,418%	4,722	174	450	36,444%
gcut3dr	320	313	2,236%	7,456	311	488	34,426%
gcut4dr	844	836	0,956%	18,124	535	1151	26,672%
gcut5dr	177	174	1,724%	0,408	24	246	28,049%
gcut6dr	302	301	0,332%	3,740	184	456	33,772%
gcut7dr	547	542	0,992%	8,607	188	783	30,140%
gcut8dr	655	650	0,769%	96,844	800	963	31,983%
gcut9dr	124	122	1,639%	0,654	17	162	23,457%
gcut10dr	270	270	0,000%	1,943	29	415	34,940%
gcut11dr	302	298	1,342%	49,074	202	472	36,017%
gcut12dr	607	601	0,998%	384,337	839	913	33,516%

Tabela 5: Soluções do PCGD₂GC para as instâncias *gcut1dr*, ..., *gcut12dr*.

Referências

- [1] I. ADLER, N. MEGIDDO, AND M. J. TODD, *New results on the average behavior of simplex algorithms*, Bull. Amer. Math. Soc. (N.S.), 11 (1984), pp. 378–382.
- [2] V. BAFNA, S. MUTHUKRISHNAN, AND R. RAVI, *Computing similarity between RNA strings*, in Combinatorial Pattern Matching (Espoo, 1995), vol. 937 of Lecture Notes in Comput. Sci., Springer, Berlin, 1995, pp. 1–16.
- [3] J. E. BEASLEY, *Algorithms for unconstrained two-dimensional guillotine cutting*, Journal of the Operational Research Society, 36 (1985), pp. 297–306.
- [4] J. E. BEASLEY, *Or-library: distributing test problems by electronic mail*, Journal of the Operational Research Society, 41 (1990), pp. 1069–1072.
- [5] K.-H. BORGWARDT, *Probabilistic analysis of the simplex method*, in Mathematical developments arising from linear programming (Brunswick, ME, 1988), vol. 114 of Contemp. Math., Amer. Math. Soc., Providence, RI, 1990, pp. 21–34.
- [6] N. CHRISTOFIDES AND C. WHITLOCK, *An algorithm for two dimensional cutting problems*, Operations Research, 25 (1977), pp. 30–44.
- [7] V. CHVÁTAL, *Linear Programming*, W. H. Freeman and Company, New York, 1980.
- [8] G. F. CINTRA, *Algoritmos híbridos para o problema de corte unidimensional*, in XXV Conferência Latinoamericana de Informática, Assunção, 1999.
- [9] E. G. COFFMAN JR., M. R. GAREY, D. S. JOHNSON, AND R. E. TARJAN, *Performance bounds for level oriented two-dimensional packing algorithms*, SIAM Journal on Computing, 9 (1980), pp. 808–826.
- [10] T. H. CORMEN, C. E. LEISERSON, R. L. RIVEST, AND C. STEIN, *Introduction to algorithms*, MIT Press, Cambridge, MA, second ed., 2001.
- [11] M. R. GAREY AND D. S. JOHNSON, *Computers and Intractability: A Guide to the Theory of \mathcal{NP} -Completeness*, W. H. Freeman and Co., San Francisco, 1979.
- [12] P. GILMORE AND R. GOMORY, *A linear programming approach to the cutting stock problem*, Operations Research, 9 (1961), pp. 849–859.
- [13] ———, *A linear programming approach to the cutting stock problem - part II*, Operations Research, 11 (1963), pp. 863–888.

- [14] J. C. HERZ, *A recursive computational procedure for two-dimensional stock-cutting*, IBM Journal of Research Development, (1972), pp. 462–469.
- [15] M. HIFI, *Exact algorithms for large-scale unconstrained two and three staged cutting problems*, Comput. Optim. Appl., 18 (2001), pp. 63–88.
- [16] V. KLEE AND G. J. MINTY, *How good is the simplex algorithm?*, in Inequalities, III (Proc. Third Sympos., Univ. California, Los Angeles, Calif., 1969; dedicated to the memory of Theodore S. Motzkin), New York, 1972, Academic Press, pp. 159–175.
- [17] J. RIEHME, G. SCHEITHAUER, AND J. TERNO, *The solution of two-stage guillotine cutting stock problems having extremely varying order demands*, TR MATH-NM-05-1995, TU Dresden, 1995.
- [18] L. WALL, T. CHRISTIANSEN, AND J. ORWANT, *Programming Perl*, O’Reilly & Associates, 3rd ed., July 2000.
- [19] G. WÄSCHER AND T. GAU, *Heuristics for the integer one-dimensional cutting stock problem: a computational study*, OR Spektrum, 18 (1996), pp. 131–144.
- [20] XPRESS, *Xpress Optimizer Reference Manual*, DASH Optimization, Inc, 2002.